Avaliação da influência de diferentes concentrações de CTAB na adsorção do par iônico SPADNS:CTAB em resina XAD 2

Ana Carolina Ribeiro Gomes (PG)* e Ivanise Gaubeur (PQ) *ana.gomes@ufabc.edu.br

Centro de Ciências Naturais e Humanas, Universidade Federal do ABC, CEP 09210-170, Santo André, SP, Brasil

Palavras Chave: Adsorção, SPADNS, CTAB e XAD-2.

Introdução

A extração em fase sólida (SPE) é amplamente utilizada devido à fácil recuperação da fase sólida, alto fator de pré-concentração e possibilidade de amostragem *in situ*. A interação entre complexantes e tensoativos, em solução aquosa, tem sido amplamente estudada, principalmente, em processos de adsorção de complexantes em fases sólidas. No presente trabalho foi realizado o estudo cinético da adsorção do par iônico formado entre o SPADNS e CTAB.

Resultados e Discussão

A adsorção do SPANDS na resina XAD 2 foi utilizando-se um espectrofotômetro Shimatzu 2450 e cubetas de quartzo (1,0 cm). Obteve-se a curva analítica do SPADNS (0,10 a 8,0)x10⁻⁵ mol L⁻¹ em meio de CTAB e pH 7. Com o auxílio do software Origin 7.5 calculou-se os parâmetros: A_{510} = 1,79x10⁴ C_{SPADNS} + 0,0015 e r^2 = 0,9990. Inicialmente avaliou-se a adsorção em função da concentração do CTAB em (0,10, 0,20 e 1,0) x10⁻³ mol L⁻¹. Observa-se, Figura 1-a, que na concentração 1,0x10⁻⁴ mol L⁻¹ de CTAB a massa adsorvida de SPADNS foi maior e o equilíbrio foi atingido em apenas 20 min. Pode-se perceber que acima da concentração micelar crítica (CMC), não ocorre adsorção do SPADNS na resina XAD 2, indicando a afinidade da fase sólida pelo par iônico e não pela micela. Em seguida, avaliou-se a adsorção a partir de diferentes concentrações de SPADNS (2,0, 4,0 e 6,0)x10⁻⁵ mol L⁻¹, mantendo constante a temperatura (25±1 °C), a massa da resina (0,1 g) e (Figura 1-b) a concentração de CTAB (1,0x10⁻⁴ mol L⁻¹). Os dados experimentais foram ajustados aos modelos cinéticos de pseudo-primeira ordem, pseudo-segunda ordem e difusão intra-partícula, Figura 1-b e Tabela 1.

Tabela 1. Parâmetros relativos ao ajuste do modelo de pseudo-segunda ordem aos dados experimentais da adsorção do SPADNS com CTAB (1,0x10⁻⁴ mol L⁻¹) em resina XAD 2.

[SPADNS]x10 ⁻⁵ (mol L ⁻¹)	q _{máx, exp} (g g ⁻¹)	q _{máx, calc} (g g ⁻¹)	r ²
2,0	1,13x10 ⁻³	1,16x10 ⁻³	0,999
4,0	2,29x10 ⁻³	2,47x10 ⁻³	0,994
6,0	3,41x10 ⁻³	3,58x10 ⁻³	0,998

33ª Reunião Anual da Sociedade Brasileira de Química

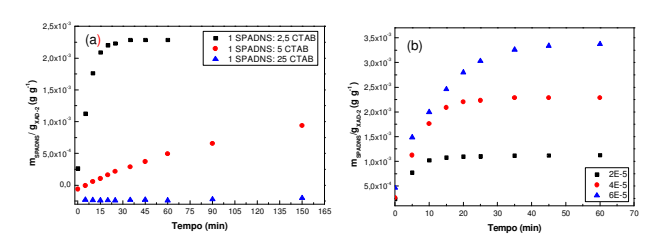


Figura 1. Massa adsorvida de SPADNS por grama de XAD-2 em função do tempo, (a) na presença de CTAB $(1,0,\ 2,0x10^{-4}\ e\ 1,0x10^{-3}\ mol\ L^{-1})$ e [SPADNS] = $4x10^{-5}$ mol L^{-1} ; (b) [SPADNS] = $2,0,\ 4,0\ e\ 6,0x10^{-5}$ mol L^{-1} e [CTAB] = $1,0x10^{-4}$ mol L^{-1} .

Observou-se que o sistema XAD 2/SPADNS em presença de CTAB $(1,0x10^{-4} \text{ mol } \text{L}^{-1})$ e nas concentrações de SPADNS $(2,0,\,4,0\,\,\text{e}\,\,6,0)x10^{-5}$ mol L^{-1} apresentaram excelente ajuste ao modelo cinético de pseudo-segunda ordem, observada à partir da concordância entre a quantidade máxima adsorvida calculada $(q_{\text{max,calc.}})$ e experimental $(q_{\text{max,exp.}})$ e os altos valores dos coeficiente de correção (r).

Conclusões

A adsorção do SPADNS na resina XAD 2 em presença de CTAB mostrou-se dependente da formação do par iônico entre o SPADNS e o CTAB. Os estudos cinéticos apresentaram excelente ajuste ao modelo cinético de pseudo-segunda ordem, onde considera-se que cada molécula de adsorbato ligase a dois sítios de adsorção da superfície adsorvente.

Agradecimentos

Universidade Federal do ABC e FAPESP (2008/09545-1)

¹ Calvo, M;et. Al. Microchemical J. 1986, 34, 289.